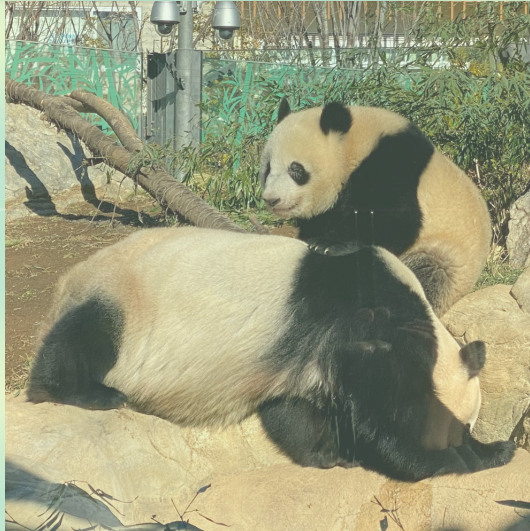


フェムトスコピーによる ハドロン間相互作用の研究



兵藤 哲雄

東京都立大学

2023, Oct. 27th 1

In memory of Akira Ohnishi



Sep. 13, 2019, after FemTUM19 workshop @ München

目次



導入：ハドロン物理とフェムトスコピー



ハドロン相関関数とエキゾチックハドロン

- $K^- p$ 相関と $\Lambda(1405)$

Y. Kamiya, T. Hyodo, K. Morita, A. Ohnishi, W. Weise, PRL124, 132501 (2020)

- $DD^* / D\bar{D}^*$ 相関と $T_{cc} / X(3872)$

Y. Kamiya, T. Hyodo, A. Ohnishi, EPJA58, 131 (2022)



(ハドロン・原子核相関関数とハイパー核物理)

A. Jinno, Y. Kamiya, T. Hyodo, A. Ohnishi, in preparation;

Y. Kamiya, A. Jinno, T. Hyodo, A. Ohnishi, in preparation

→ 神野さんのトーク



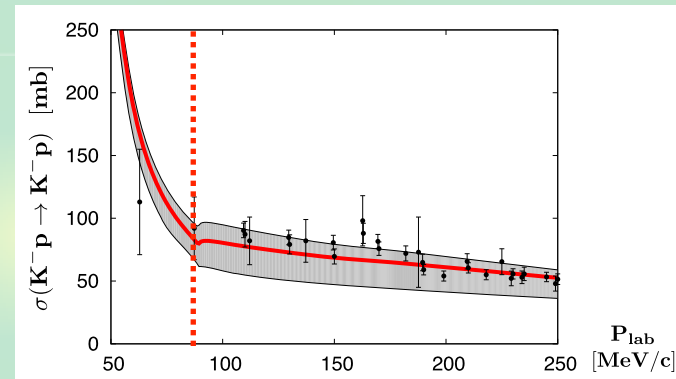
まとめ

散乱実験とフェムトスコピ

相互作用を調べる従来の方法：2体散乱実験

Y. Ikeda, T. Hyodo, W. Weise, PLB 706, 63 (2011)

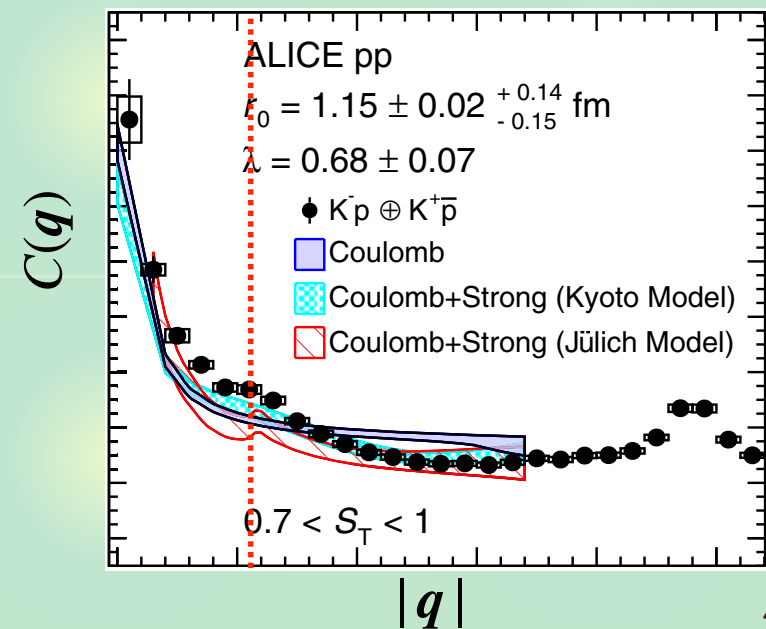
- 統計精度が良くない（低エネルギー）
- 限られた系： $NN, \Lambda N, \pi N, KN, \bar{K}N, \dots$
- ヘビー (c, b) ハドロン：ほぼ不可能



フェムトスコピ：相関関数

ALICE collaboration, PRL 124, 092301 (2020)

- 高い精度 ($\bar{K}^0 n$ カスプが見える)
- 様々な系： $\Lambda\Lambda, N\Xi, N\Omega, \phi N, \bar{K}\Lambda, DN, \dots$
- ヘビーハドロン：可能！



相関関数とハドロン相互作用

高エネルギー衝突 (RHIC, LHC) : 統計的なハドロン生成

S. Cho, et al., ExHIC collaboration, PPNP 95, 279 (2017)



- 定義

$$C(q) = \frac{N_{K^-p}(p_{K^-}, p_p)}{N_{K^-}(p_{K^-})N_p(p_p)} \quad (\text{相互作用/量子統計が無ければ} = 1)$$

- 理論 : Koonin-Pratt 公式

S.E. Koonin PLB 70, 43 (1977); S. Pratt, PRD 33, 1314 (1986)

$$C(q) \simeq \int d^3r \ S(r) |\Psi_q^{(-)}(r)|^2$$

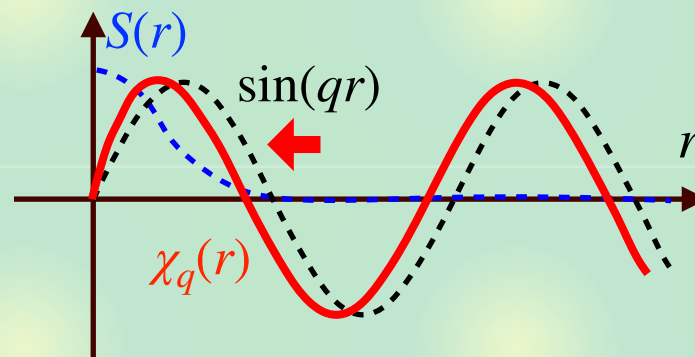
ソース関数 $S(r)$ (放出源) \longleftrightarrow 波動関数 $\Psi_q^{(-)}(r)$ (相互作用)

波動関数の振る舞いと相関関数

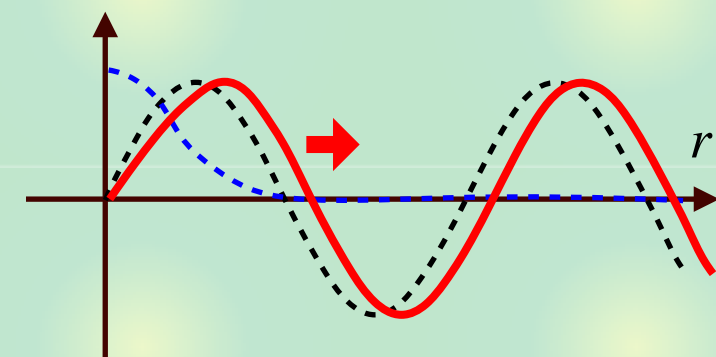
球対称ソースでs波相互作用が支配的な場合

$$C(q) \simeq 1 + \int_0^\infty dr S(r) \{ |\chi_q(r)|^2 - \sin^2(qr) \}$$

引力

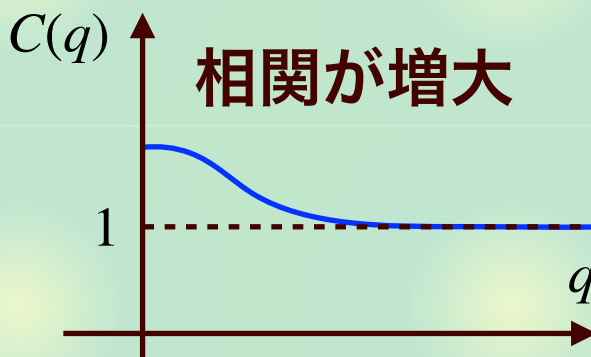


斥力



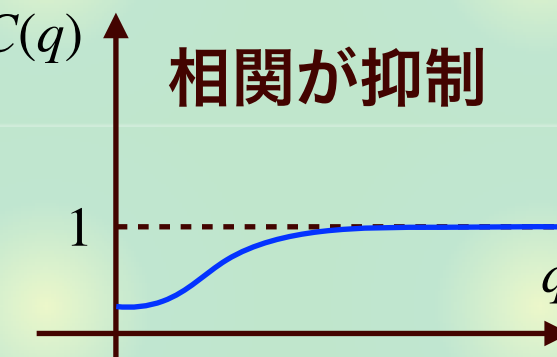
$C(q)$

相関が増大



$C(q)$

相関が抑制



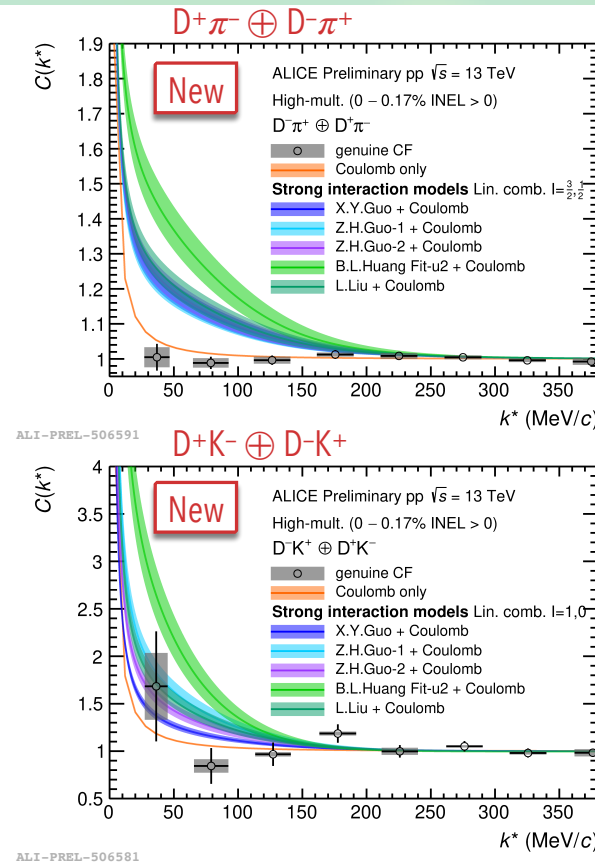
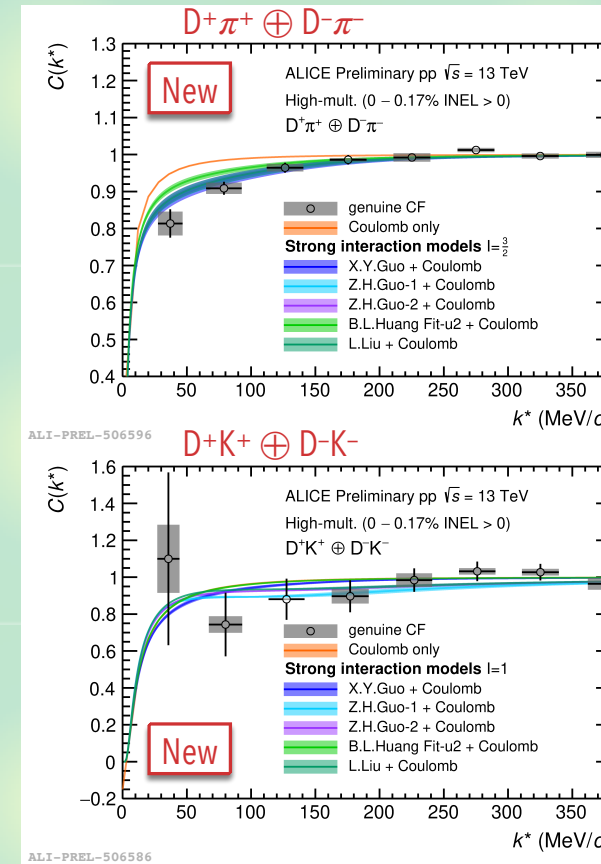
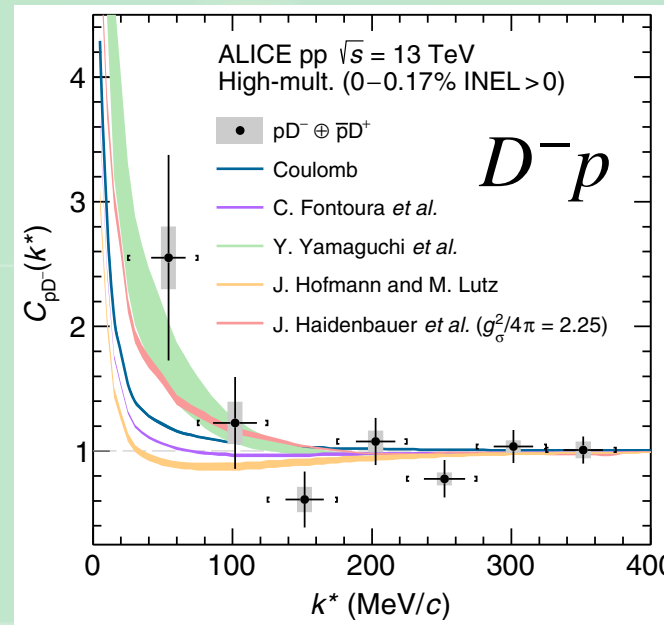
相関の定性的な振る舞いは相互作用の性質を反映

チャームセクターの実験データ

観測されたチャームを含む相関関数： $DN, D\pi, DK$

ALICE collaboration, PRD 106, 052010 (2022);

Talk by F. Grossa @ Quark Matter 2022



チャーム系で散乱データを得る唯一の方法（統計はまだ低い）

目次



導入：ハドロン物理とフェムトスコピー



ハドロン相関関数とエキゾチックハドロン

- $K^- p$ 相関と $\Lambda(1405)$

Y. Kamiya, T. Hyodo, K. Morita, A. Ohnishi, W. Weise, PRL124, 132501 (2020)

- $DD^* / D\bar{D}^*$ 相関と $T_{cc} / X(3872)$

Y. Kamiya, T. Hyodo, A. Ohnishi, EPJA58, 131 (2022)



(ハドロン・原子核相関関数とハイパー核物理)

A. Jinno, Y. Kamiya, T. Hyodo, A. Ohnishi, in preparation;

Y. Kamiya, A. Jinno, T. Hyodo, A. Ohnishi, in preparation



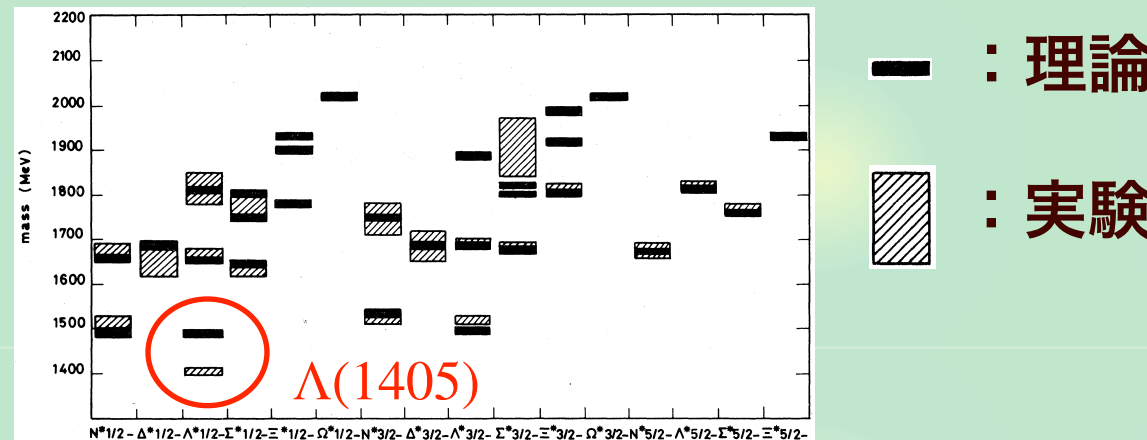
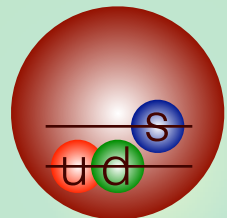
→ 神野さんのトーク

まとめ

$\Lambda(1405)$ と $\bar{K}N$ 散乱

$\Lambda(1405)$ は標準的な描像で記述できない \rightarrow エキゾチック候補

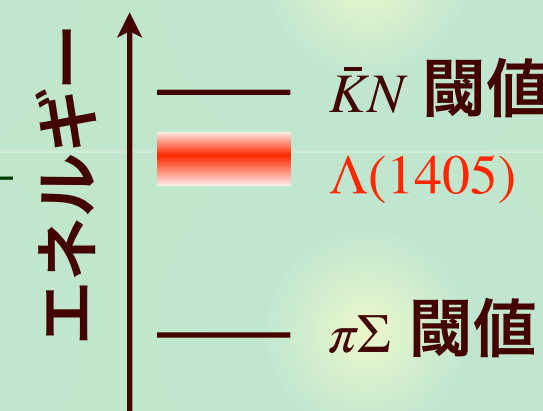
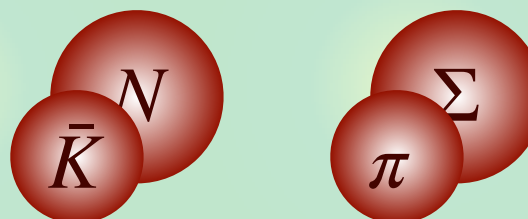
N. Isgur and G. Karl, PRD18, 4187 (1978)



チャンネル結合散乱での共鳴状態

- MB状態との結合：カイラルSU(3)動力学

永江知文、兵藤哲雄「 K 中間子原子核の物理」（共立出版）



PDGの極の位置

PDGの2020年の更新

Y. Ikeda, T. Hyodo, W. Weise, PLB 706, 63 (2011); NPA 881, 98 (2012); ▲

Z.H. Guo, J.A. Oller, PRC87, 035202 (2013); \times

M. Mai, U.G. Meißner, EPJA51, 30 (2015) ■ ○

- Particle Listing section:

Citation: P.A. Zyla *et al.* (Particle Data Group), Prog. Theor. Exp. Phys. **2020**, 083C01 (2020)

$\Lambda(1405) \frac{1}{2}^-$

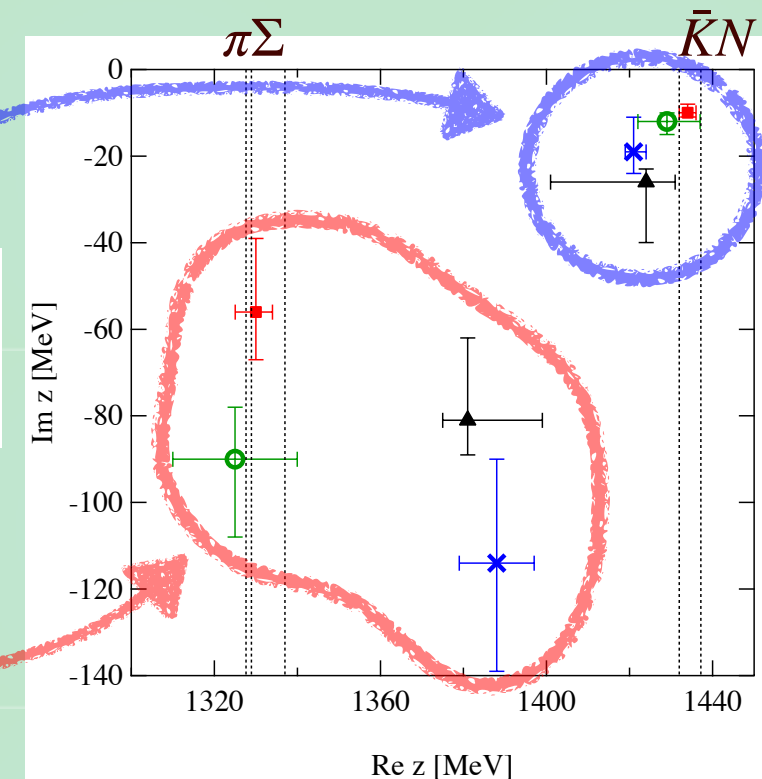
$I(J^P) = 0(\frac{1}{2}^-)$ Status: * * * *

Citation: P.A. Zyla *et al.* (Particle Data Group), Prog. Theor. Exp. Phys. **2020**, 083C01 (2020)

$\Lambda(1380) \frac{1}{2}^-$

$J^P = \frac{1}{2}^-$ Status: * *

new!



T. Hyodo, M. Niiyama, Prog. Part. Nucl. Phys. 120, 103868 (2021)

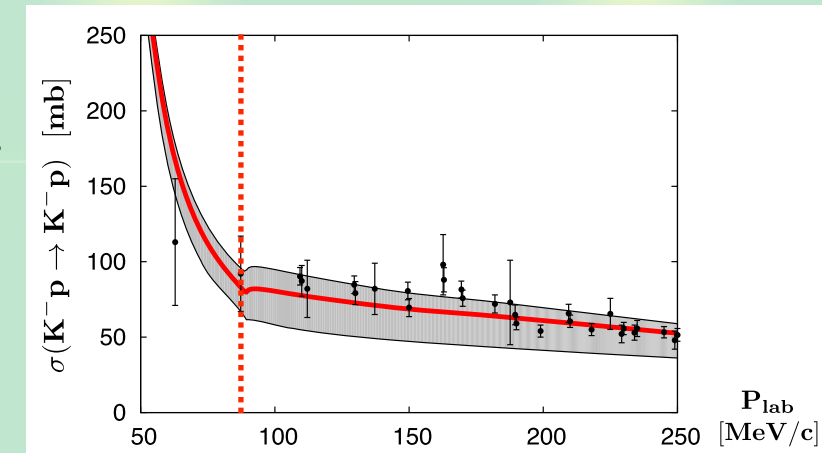
- “ $\Lambda(1405)$ ” の極は1405 MeVではなく ~ 1420 MeVに位置する
- Lower pole : 新しい two-star 共鳴 $\Lambda(1380)$

$K^- p$ 相関の実験データ

$K^- p$ 散乱の全断面積

Y. Ikeda, T. Hyodo, W. Weise, PLB 706, 63 (2011)

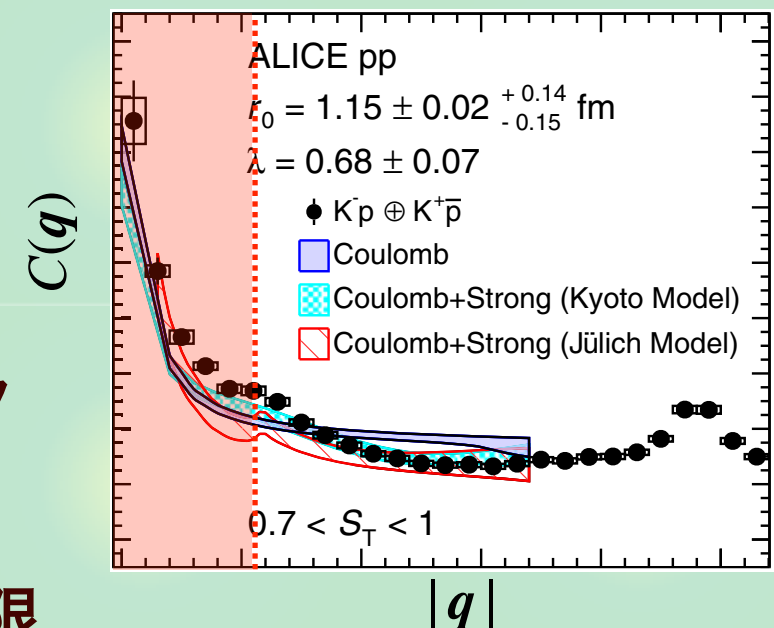
- 古い泡箱のデータ
- 統計精度、解像度が良くない
- $\bar{K}^0 n$ 閾値カスプは見えない



$K^- p$ 相関関数

ALICE collaboration, PRL 124, 092301 (2020)

- 高い精度 ($\bar{K}^0 n$ カスプが見える)
- $\bar{K}^0 n$ 閾値下のエネルギーでのデータ



→ $\Lambda(1405)$ の理論に関する重要な制限

チャンネル結合効果

s波Schrödinger方程式

$$\begin{pmatrix} \frac{-1}{2\mu_1} \frac{d^2}{dr^2} + V_{11}(r) + V_C(r) & V_{12}(r) & \cdots \\ V_{21}(r) & \frac{-1}{2\mu_2} \frac{d^2}{dr^2} + V_{22}(r) + \Delta_2 & \cdots \\ \vdots & \vdots & \ddots \end{pmatrix} \begin{pmatrix} \chi_{K^-p}(r) \\ \chi_{\bar{K}^0 n}(r) \\ \vdots \end{pmatrix} = E \begin{pmatrix} \chi_{K^-p}(r) \\ \chi_{\bar{K}^0 n}(r) \\ \vdots \end{pmatrix}$$

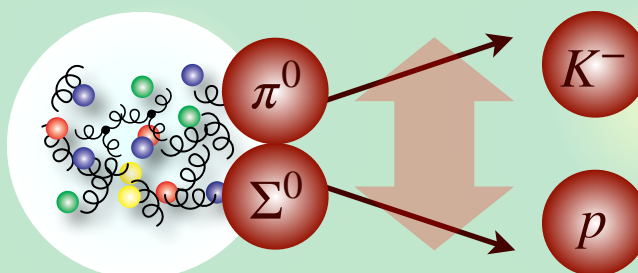
クーロン 閾値エネルギー差 (アイソスピンの破れ)

波動関数の漸近形 ($r \rightarrow \infty$)

$$\begin{pmatrix} \chi_{K^-p}(r) \\ \chi_{\bar{K}^0 n}(r) \\ \vdots \end{pmatrix} \propto \begin{pmatrix} \#e^{-iqr} + \#e^{iqr} \\ \#e^{-iq_2 r} + \#e^{iq_2 r} \\ \vdots \end{pmatrix}$$

内向き + 外向き

- $\bar{K}^0 n, \pi^+ \Sigma^-, \pi^0 \Sigma^0, \pi^- \Sigma^+, \pi^0 \Lambda$ からの遷移が $\chi_i(r) i \neq K^-p$ に含まれる



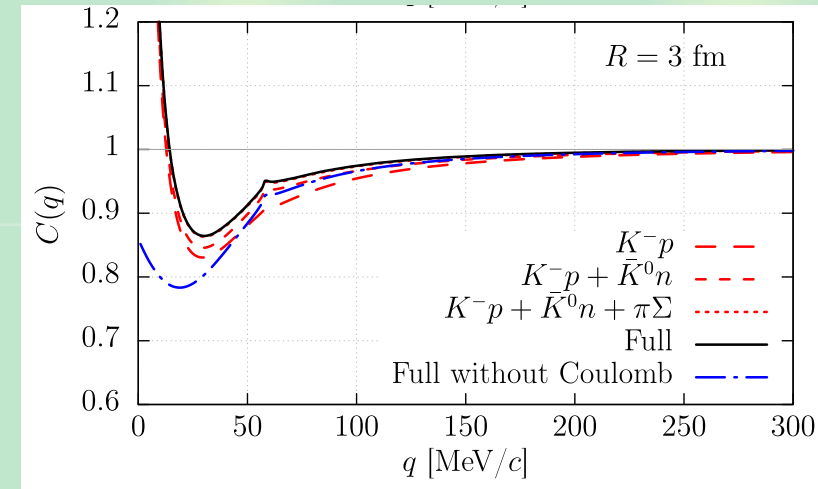
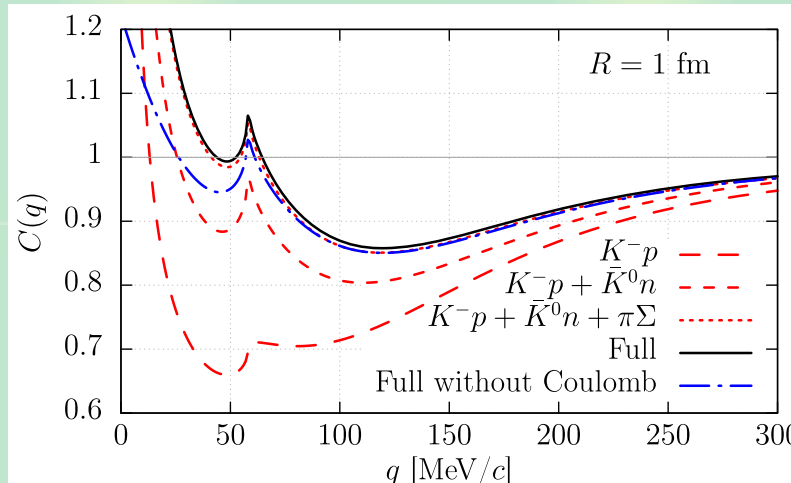
チャンネル結合と相関関数

チャンネル結合Koonin-Pratt公式

R. Lednicky, V.V. Lyuboshitz, V.L. Lyuboshitz, Phys. Atom. Nucl. **61**, 2950 (1998);
 J. Haidenbauer, NPA **981**, 1 (2019);
Y. Kamiya, T. Hyodo, K. Morita, A. Ohnishi, W. Weise, PRL124, 132501 (2020)

$$C_{K^-p}(\mathbf{q}) \simeq \int d^3\mathbf{r} S_{K^-p}(\mathbf{r}) |\Psi_{K^-p,q}^{(-)}(\mathbf{r})|^2 + \sum_{i \neq K^-p} \omega_i \int d^3\mathbf{r} S_i(\mathbf{r}) |\Psi_{i,q}^{(-)}(\mathbf{r})|^2$$

- $\bar{K}^0 n, \pi^+ \Sigma^-, \pi^0 \Sigma^0, \pi^- \Sigma^+, \pi^0 \Lambda$ からの遷移
- ω_i : K^-p に対するチャンネル i の重み



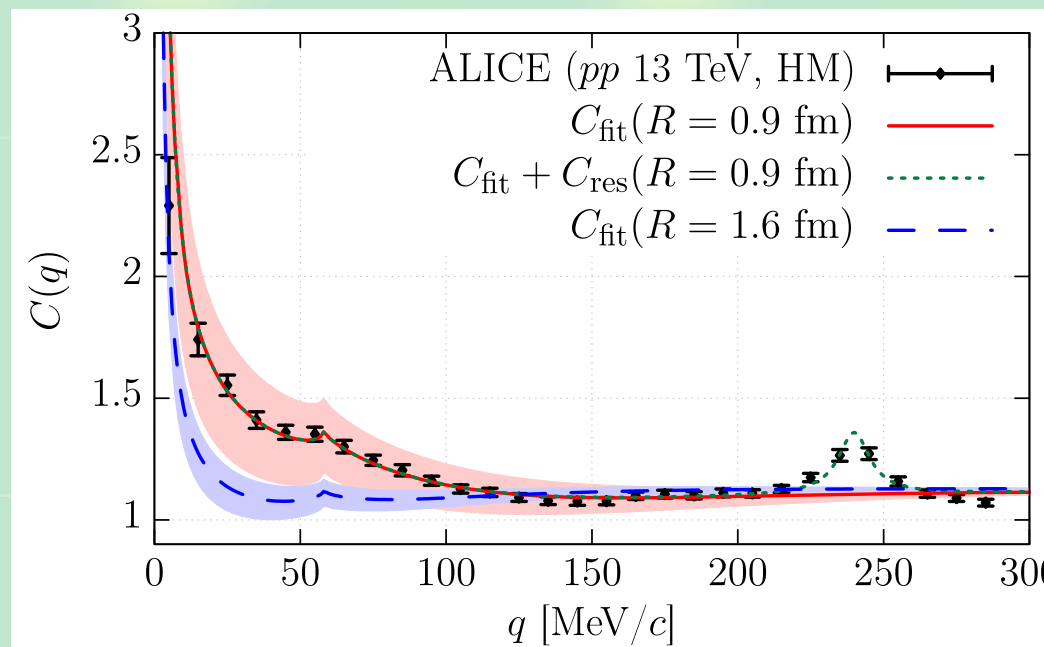
チャンネル結合効果は小さいソースで顕著

カイラルSU(3)動力学による相関関数

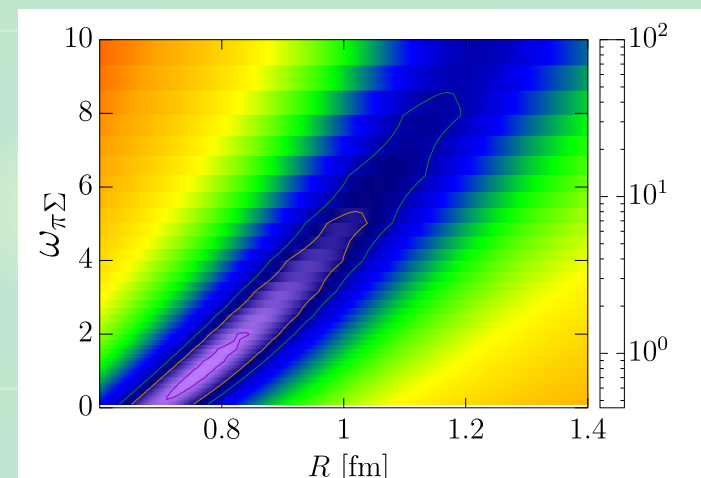
波動関数 $\Psi_{i,q}^{(-)}(r)$: チャンネル結合京都 $\bar{K}N-\pi\Sigma-\pi\Lambda$ ポテンシャル

K. Miyahara, T. Hyodo, W. Weise, PRC98, 025201 (2018)

- ソース関数 $S(r)$: ガウシアン, $R \sim 1$ fm $\leftarrow K^+ p$ データ
- 重み $\omega_{\pi\Sigma} \sim 2$: 統計模型による見積もり



reduced χ^2



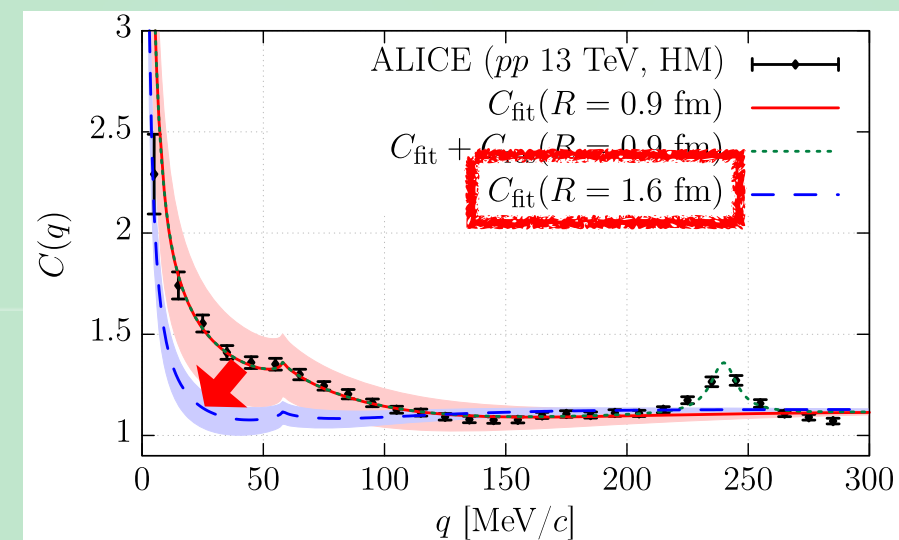
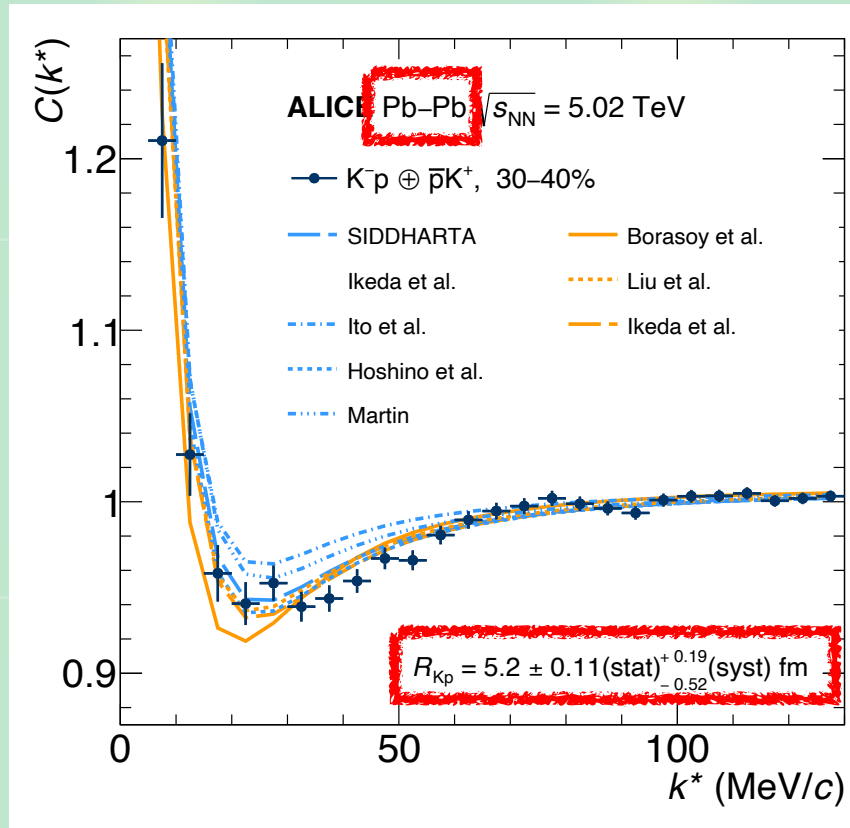
Y. Kamiya, T. Hyodo, K. Morita, A. Ohnishi, W. Weise, PRL124, 132501 (2020)

ALICEの相関関数データをよく再現する

ソースサイズ依存性

5.02 TeV Pb-Pb 衝突のデータ

ALICE collaboration, PLB 822, 136708 (2021)

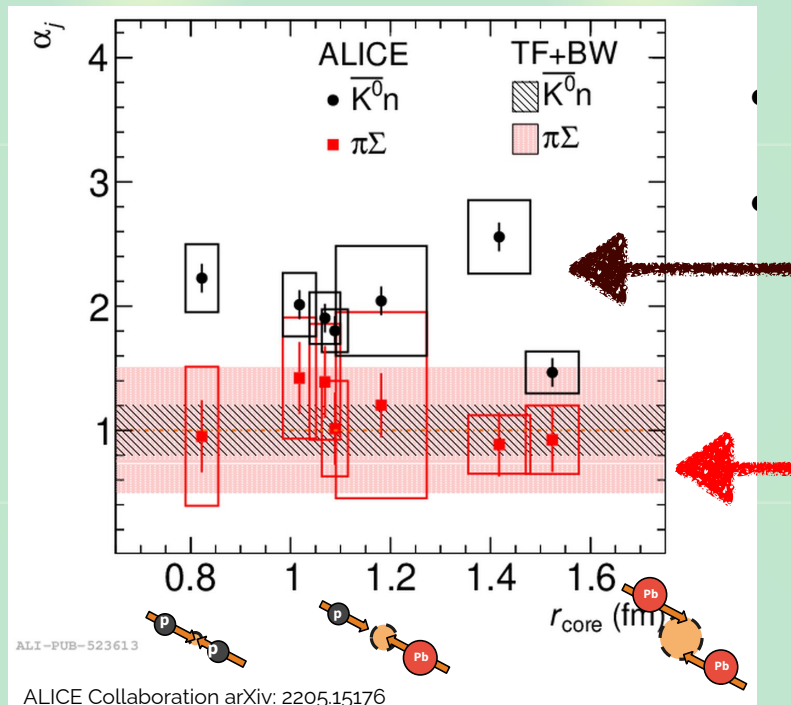
- 散乱長 $a_{K^- p} = -0.91 + 0.92i$ fmサイズ R の大きいソースで相関が抑制 ← 理論の予言

ソースサイズ依存性の体系的な研究

pp , $p\text{-Pb}$, Pb-Pb 衝突での相関関数

ALICE collaboration, EPJC 83, 340 (2023)

$$C_{K^-p}(\mathbf{q}) \simeq \int d^3r S_{K^-p}(\mathbf{r}) |\Psi_{K^-p,q}^{(-)}(\mathbf{r})|^2 + \sum_{i \neq K^-p} \omega_i \int d^3r S_i(\mathbf{r}) |\Psi_{i,q}^{(-)}(\mathbf{r})|^2$$



データを説明するために
必要な増加因子

Thermal Fist + Blast Wave で
予言される ω_i

$\bar{K}^0 n$ チャンネルの強度を増加させる必要がある

目次

-  導入：ハドロン物理とフェムトスコピー
-  ハドロン相関関数とエキゾチックハドロン
 - $K^- p$ 相関と $\Lambda(1405)$
Y. Kamiya, T. Hyodo, K. Morita, A. Ohnishi, W. Weise, PRL124, 132501 (2020)
 - $DD^* / D\bar{D}^*$ 相関と $T_{cc} / X(3872)$
Y. Kamiya, T. Hyodo, A. Ohnishi, EPJA58, 131 (2022)
-  (ハドロン・原子核相関関数とハイパー核物理)
 - A. Jinno, Y. Kamiya, T. Hyodo, A. Ohnishi, in preparation;
 - Y. Kamiya, A. Jinno, T. Hyodo, A. Ohnishi, in preparation
-  まとめ

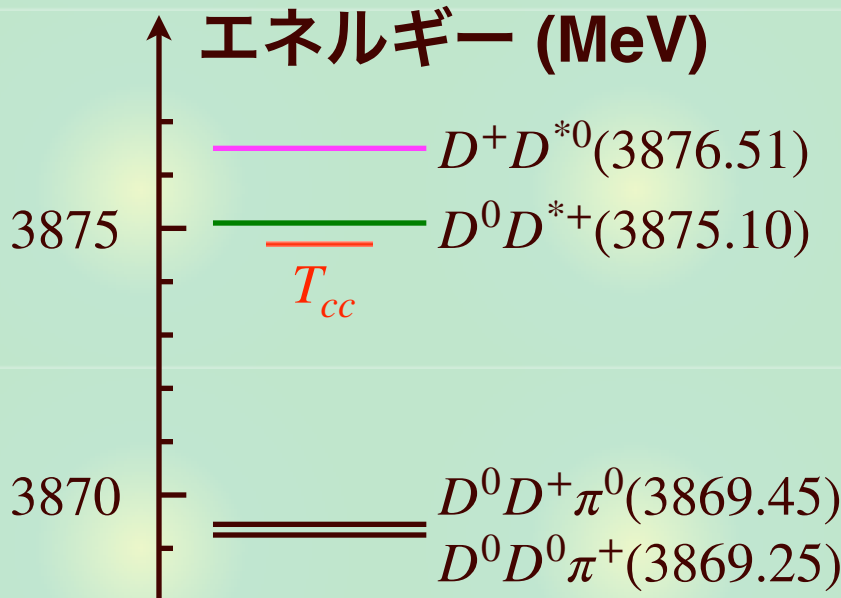
→ 神野さんのトーク

T_{cc} の観測

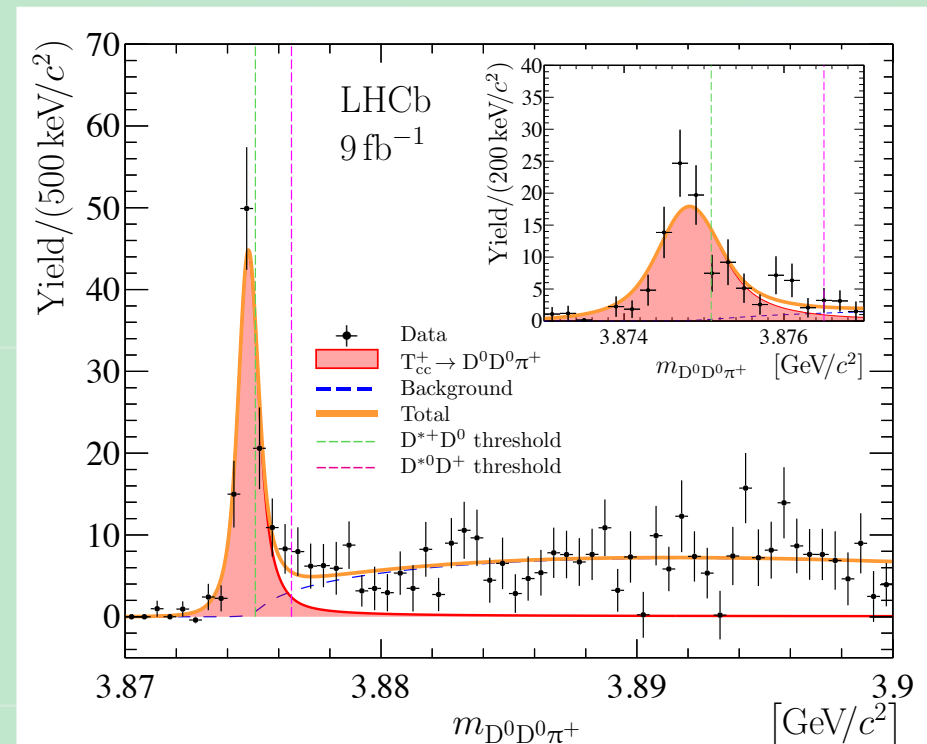
D⁰D⁰ π^+ スペクトル中で T_{cc} が観測される

LHCb collaboration, Nature Phys., 18, 751 (2022); Nature Comm., 13, 3351 (2022)

- DD* 閾値近傍にピーク
- チャーム C = + 2 : ~ cc $\bar{u}\bar{d}$
- 準位構造



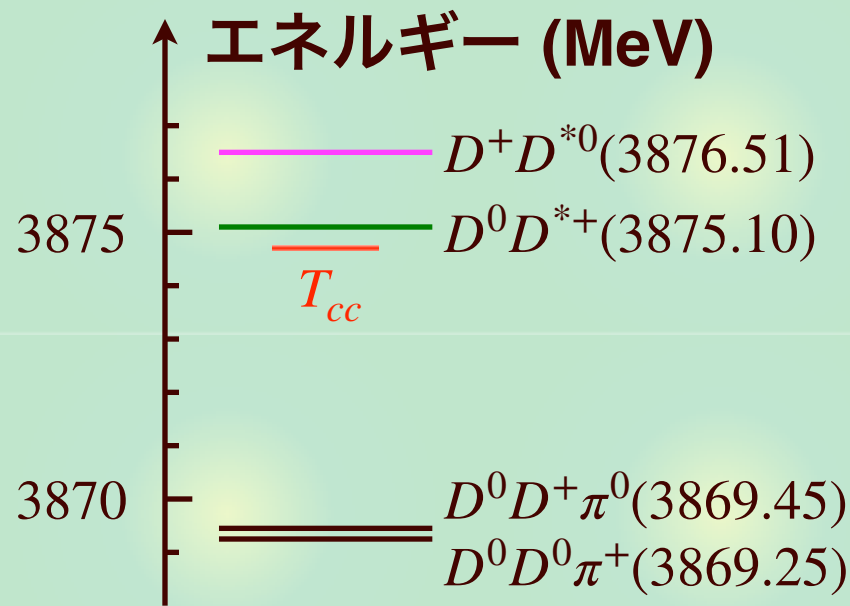
- 非常に小さい (few MeV ~ keV) エネルギースケールを含む



T_{cc} と $X(3872)$

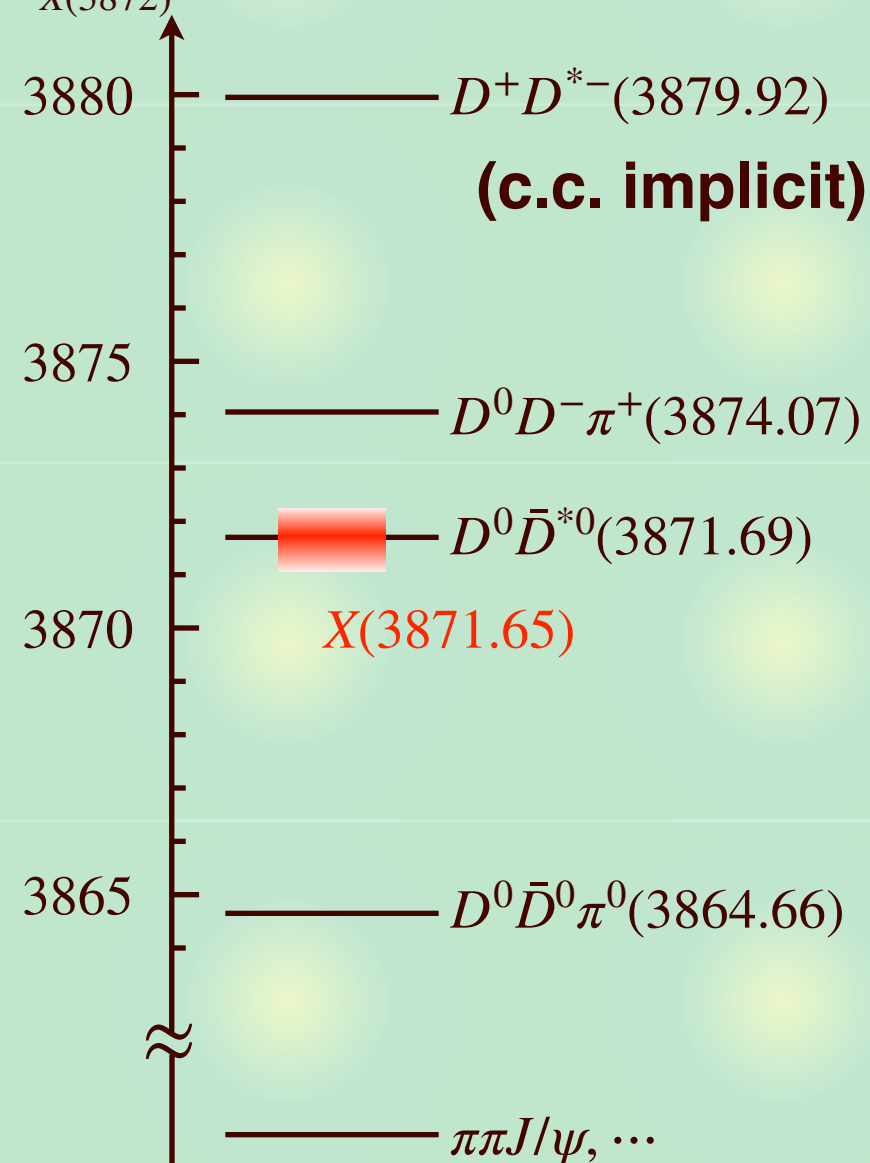
$X(3872)$ も閾値近傍状態で $M_{T_{cc}} \sim M_{X(3872)}$

- PDGによる質量と閾値



- $T_{cc}/X(3872)$ は $DD^*/D\bar{D}^*$ 近傍
-> ハドロン分子的?

- $X(3872)$ は崩壊チャネルあり



DD*/D \bar{D} * ポテンシャル

チャンネル結合ポテンシャル

$$V_{DD^*/D\bar{D}^*} = \frac{1}{2} \begin{pmatrix} V_{I=1} + V_{I=0} & V_{I=1} - V_{I=0} \\ V_{I=1} - V_{I=0} & V_{I=1} + V_{I=0} + V_c \end{pmatrix} \begin{array}{l} D^0 D^{*+}/\{D^0 \bar{D}^{*0}\} \\ D^+ D^{*0}/\{D^+ D^{*-}\} \end{array}$$

↑ $\{D^+ D^{*-}\}$ にはクーロン

- $I = 0$: 1レンジガウス型ポテンシャル、 $I = 1$ は無視

$$V_{I=0} = V_0 \exp\{-m_\pi^2 r^2\}, \quad V_{I=1} = 0$$

↑ π 交換に基づくレンジ

$V_0 \in \mathbb{C} \leftarrow$ 散乱長 (ハドロン分子描像)

- T_{cc} : $a_0^{D^0 D^{*+}} = -7.16 + i1.85$ fm : LHCbの解析

LHCb collaboration, Nature Comm., 13, 3351 (2022)

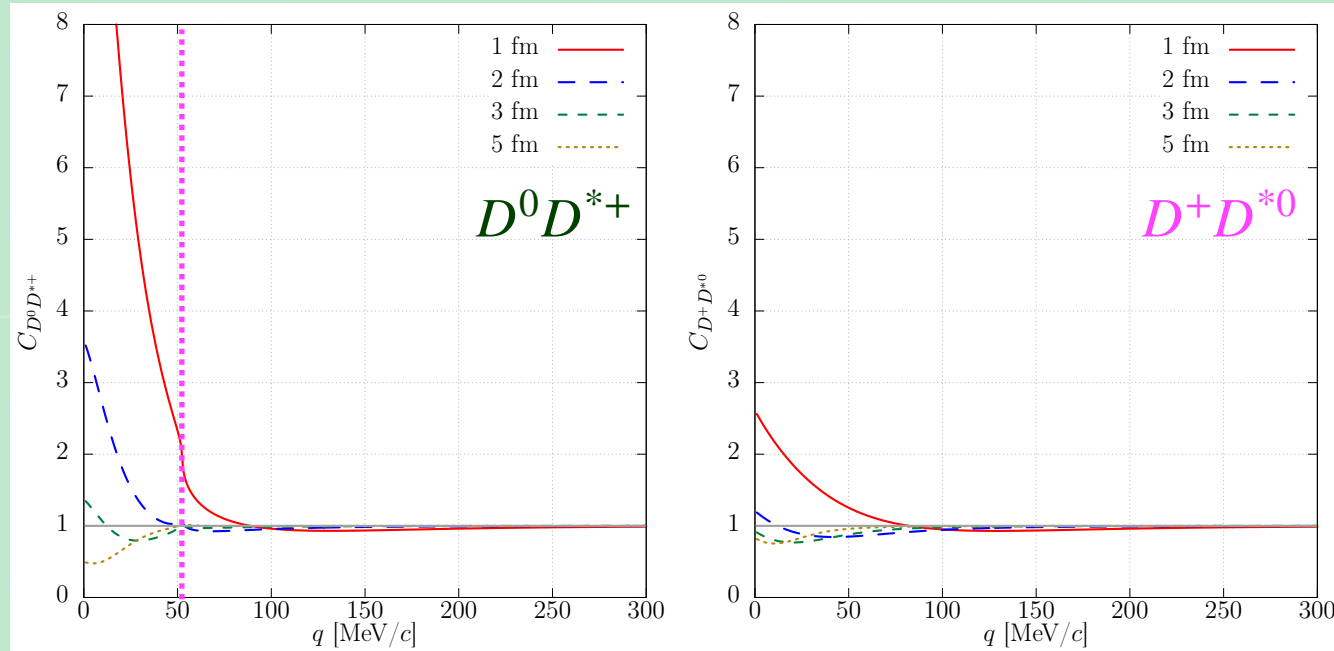
- X(3872) : $a_0^{D^0 \bar{D}^{*0}} = -4.23 + i3.95$ fm ($a_0 = -i/\sqrt{2\mu E_h} \leftarrow$ PDGの E_h)

$DD^* \sim T_{cc}$ チャンネル

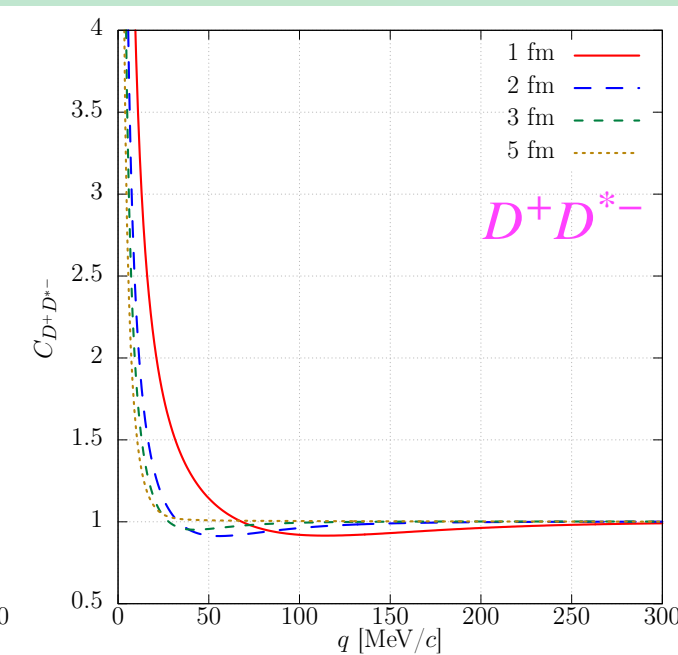
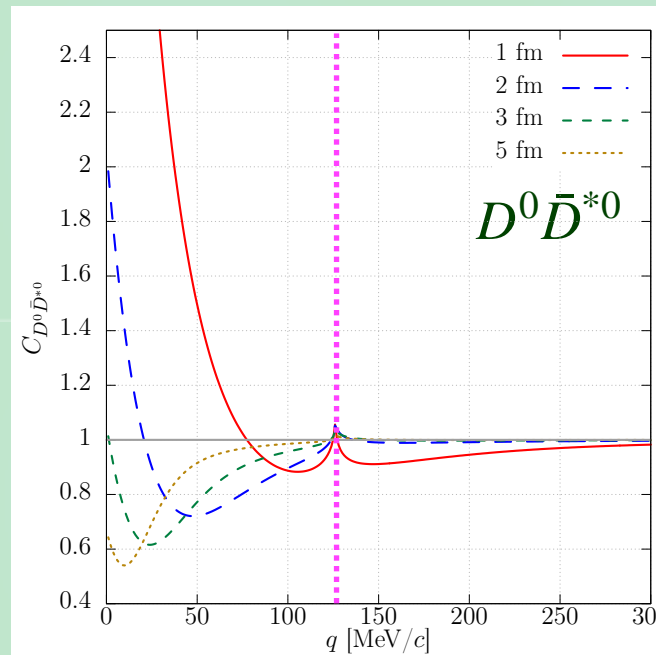
$D^0 D^{*+}$ 、 $D^+ D^{*0}$ 相関関数 ($cc\bar{u}\bar{d}$ エキゾチックチャンネル)

Y. Kamiya, T. Hyodo, A. Ohnishi, EPJA58, 131 (2022)

$\textcolor{magenta}{—} D^+ D^{*0}$
 $\textcolor{red}{—} D^0 D^{*+}$
 $\textcolor{red}{—} T_{cc}$



- 両方のチャンネルで束縛状態の性質（ソースサイズ依存性）
- $D^0 D^{*+}$ で強いシグナル、 $D^+ D^{*0}$ 相関は比較的小さいシグナル
- $D^0 D^{*+}$ 相関中に弱い $D^+ D^{*0}$ 閾値カスプ ($q \sim 52$ MeV)

$D\bar{D}^* \sim X(3872)$ チャンネル $D^0\bar{D}^{*0}$ 、 $D^+\bar{D}^{*-}$ 相関関数 ($c\bar{c}q\bar{q}$ チャンネル)Y. Kamiya, T. Hyodo, A. Ohnishi, EPJA58, 131 (2022) $\textcolor{magenta}{\rule[1ex]{1.5em}{0.4em}} D^+D^{*-}$ $\textcolor{red}{\rule[1ex]{1.5em}{0.4em}} D^0\bar{D}^{*0}$ $X(3872)$ 

- $D^0\bar{D}^{*0}$ 相関に束縛状態の性質
- $D^0\bar{D}^{*0}$ 相関中に強い D^+D^{*-} 閾値カスプ ($q \sim 126$ MeV)
- D^+D^{*-} 相関：クーロン引力が支配的

まとめ

● 高エネルギー衝突実験での相関関数はエキゾチックハドロン・原子核の相互作用の研究に有用

● $K^- p$ 相関

- $\Lambda(1405)$ と $\bar{K}N$ 相互作用の精密な検証

Y. Kamiya, T. Hyodo, K. Morita, A. Ohnishi, W. Weise, PRL124, 132501 (2020)

● $DD^* / D\bar{D}^*$ 相関

- (準) 束縛状態 $T_{cc} / X(3872)$ の性質を反映

Y. Kamiya, T. Hyodo, A. Ohnishi, EPJA58, 131 (2022)

● $\Lambda\alpha, \Xi\alpha$ 相関 → 神野さんのトーク

A. Jinno, Y. Kamiya, T. Hyodo, A. Ohnishi, in preparation;

Y. Kamiya, A. Jinno, T. Hyodo, A. Ohnishi, in preparation